

文章编号:1000-2367(2018)06-0080-06

DOI:10.16366/j.cnki.1000-2367.2018.06.013

磁场条件下 Fe^{2+} 对产聚唾液酸大肠杆菌的诱变选育

吴金勇^{1,2}, 陈祥松^{2,3}, 袁丽霞², 朱薇薇², 孙立洁², 李俊³, 高兰兰², 姚建铭^{1,2,3}

(1.中国科学院大学,北京 100049;2.中国科学院 合肥物质科学研究院,
合肥 230031; 3.淮南新能源研究中心,安徽 淮南 232001)

摘要:以产聚唾液酸(polysialic acid, PSA)的大肠杆菌(*Escherichia coli*)为出发菌株,在磁场条件下利用 Fe^{2+} 对该菌种进行多轮诱变选育,获得具有高产性能的诱变菌株,在 5 L 发酵罐进行发酵验证。结果表明:在 0.5 T 磁场条件下, Fe^{2+} 的最佳诱变质量浓度为 $90 \text{ mg} \cdot \text{L}^{-1}$; 经过 5 轮诱变和选育, PSA 的摇瓶发酵水平从 $1.09 \text{ g} \cdot \text{L}^{-1}$ 提高到 $2.24 \text{ g} \cdot \text{L}^{-1}$; 5 L 发酵罐发酵水平从 $4.79 \text{ g} \cdot \text{L}^{-1}$ 提高到 $9.22 \text{ g} \cdot \text{L}^{-1}$, 产量提高了 92%。

关键词:聚唾液酸;磁场;亚铁离子;诱变

中图分类号:Q939.9

文献标志码:A

聚唾液酸(polysialic acid)是 N-乙酰神经氨酸(N-Acetyl-D-neuraminic acid, NeuAc)以 α -2,8 和(或) α -2,9 键连接的同聚物^[1], 是少数细菌的荚膜多糖的主要组分。1957 年, Barry 和 Goebel 首先在 *E.coli* K235 中发现聚唾液酸^[2], 后来人们相继在大肠杆菌其他菌株中发现聚唾液酸, 如 K1, K92 等。NeuAc 是细胞信息传递的第一接触位点^[3], 且其分子结构具有多样性, 因此 NeuAc 参与细胞识别、信号转导、肿瘤发生、受精等多个生理过程^[4-8]。此外, NeuAc 能调节 IgG 的抗炎活性, 增强婴幼儿免疫力, 影响神经细胞的完整性、渗透性及活性, 促进婴儿大脑的发育^[9-12]。2016 年 2 月, 美国 FDA 通过了丹麦 Glycom 公司提交的 N-乙酰神经氨酸 GRAS 评估; 2017 年 6 月, 欧盟食品安全委员会通过了丹麦 Glycom 公司提交的 N-乙酰神经氨酸 Novel Food 安全性评估; 2017 年 5 月 31 日国家卫计委审核并批准了乳木果油等 10 种原料作为新食品原料使用, 其中包含发酵来源的 N-乙酰神经氨酸。目前 NeuAc 逐步开始应用于食品、化妆品及医药领域, NeuAc 的来源越来越受到人们的关注。

目前, 利用大肠杆菌发酵生产聚唾液酸的发酵水平较低, 约为 $5 \sim 6 \text{ g} \cdot \text{L}^{-1}$ ^[13-14], 发酵生产成本较高, 限制了 NeuAc 的应用。本研究利用新型的菌种诱变技术对产 PSA 的大肠杆菌进行诱变改造, 以提高菌种产 PSA 的水平, 以期实现产业化。近年来, 磁场对生物体的作用引起科研人员的关注^[15]。2000 年, Zmyslony M 等发现, 7 mT 磁场与 Fe^{2+} 共同作用会对小鼠淋巴细胞的 DNA 造成损伤^[16]。2003 年, 杨生玉等以 *Norcardia sp.* HD9611 作为出发菌株, 研究双向联合磁场处理在诱变育种中的增变作用, 发现联合诱变处理后的菌株比出发菌株酶活性提高了 37.9%, 据此推测, 磁场可能弥补单一诱变因子多次诱变产生的“热点”饱和, 及 DNA 分子对某些因子的不亲和性, 从而产生增变效应, 提高突变率^[17]。本实验室对磁场作用下的 Fe^{2+} 对菌种诱变的研究, 并设计了一种自动磁场诱变机^[18]。

本实验保藏有一株产聚唾液酸的菌株 PSA-W286, 该菌是 *E.coli* K 235 通过紫外、化学诱变、离子束诱变等手段处理后获得, PSA 发酵水平相对于原始菌种有提高。本研究利用磁场和 Fe^{2+} 的共同作用进一步提高该菌种的产量水平, 以期获得可以用于工业化的生产菌株。

收稿日期:2018-06-20; **修回日期:**2018-09-20。

基金项目:国家自然科学基金(215062351008217);淮南市重点研究和开发专项(2017A044);中科院等离子体物理研究所科学基金(DSJJ-16-YY02)。

作者简介:吴金勇(1984—),男,安徽合肥人,中国科学院大学工程师,博士,研究方向为微生物发酵工程,E-mail:jywu@ipp.ac.cn。

通信作者:姚建铭(1963—),研究员,E-mail:jyyao@ipp.ac.cn。

1 材料与方法

1.1 材料

1.1.1 菌种

大肠杆菌 PSA-W286, 本实验室诱变选育获得并保藏, PSA 的摇瓶发酵水平为 $1.09 \text{ g} \cdot \text{L}^{-1}$, 5 L 发酵罐发酵水平为 $4.79 \text{ g} \cdot \text{L}^{-1}$. 菌种以甘油管保藏于 -80°C 冰箱, 每 1 年传代一次.

1.1.2 主要仪器及试剂

台式离心机: Allegra X-30, BECKMAN; 恒温恒湿摇床: ZWY-A211D, 上海智城; 超低温冰箱: Forma 900, Thermo Fisher; 5 L 玻璃发酵罐系统: 5 JG, 上海保兴; 紫外分光光度计: UV-1800, 岛津; 0.5 特斯拉(T) 磁铁, 市售, 经中国科学院强磁场科学中心测定场强; FeCl_2 国药集团.

1.1.3 培养基

种子培养基($\text{g} \cdot \text{L}^{-1}$): 蛋白胨 10, 酵母浸膏粉 5, 氯化钠 10, pH7.0.

摇瓶发酵培养基($\text{g} \cdot \text{L}^{-1}$): 山梨醇 50, 蛋白胨 6, 酵母浸膏 2, 三水磷酸氢二钾 20, 七水硫酸镁 1, 氯化铵 2, 初始 pH7.5.

初筛培养基($\text{g} \cdot \text{L}^{-1}$): 山梨醇 3, 蛋白胨 6, 酵母浸膏 2, 三水磷酸氢二钾 20, 七水硫酸镁 1, 琼脂粉 20, 1% 溴百里酚蓝指示剂 2~3 滴, pH7.5.

发酵罐培养基($\text{g} \cdot \text{L}^{-1}$): 山梨醇 30, 蛋白胨 1, 三水磷酸氢二钾 5, 七水硫酸镁 1, 氯化铵 6, pH6.4.

1.2 方法

1.2.1 菌悬液制备^[19-20]

将斜面培养 24 h 的菌种接种到装有 50 mL 种子培养基的 250 mL 三角瓶中, 37°C , 200 r/min, 培养 12 h. 取对数生长期的培养液 0.5 mL 接种到装有 50 mL 种子培养基的 250 mL 三角瓶中, 37°C , 200 r/min, 培养 6 h. 培养液在无菌条件下 10 000 r/min 离心 10 min 收集菌体, 用相同体积无菌生理盐水洗涤 2~3 次, 制得到菌悬液.

1.2.2 磁场条件下的 Fe^{2+} 诱变

将磁场强度为 0.5 T 的磁铁放入空盒中固定, 再将 24 孔板细胞培养板固定在磁场上, 选择在磁铁正上方的孔, 每孔加入 1 mL 待诱变的菌悬液(根据实验设计加入不同质量浓度的 FeCl_2 溶液). 将整个装置固定在恒温培养摇床上, 转速 50 r/min, 37°C 培养 3 h.

1.2.3 初筛

将 1.2.2 处理的菌悬液 10 000 r/min, 离心 10 min, 用无菌生理盐水洗涤 1 次. 将洗涤后的菌悬液适当稀释, 涂布初筛培养基, 37°C 培养 24 h 后根据变色圈的大小筛选合适的菌株接种一级种子培养基.

1.2.4 复筛

从培养 24 h 的初筛菌种平板上, 挑取单菌落, 经过一级种子、二级种子培养, 接种到装有 50 mL 发酵培养基的 250 mL 三角瓶中, 37°C , 250 r/min, 培养 72 h, 检测发酵液中的聚唾液酸的含量.

1.2.5 聚唾液酸测定

间苯二酚-盐酸法^[21].

1.2.6 菌体干重测定

取 10 mL 发酵液, 10 000 r/min 离心 5 min, 去离子水洗 2 次, 倒去清液, 105°C 干燥至恒重.

1.2.7 致死率测定

致死率 = $(A - B)/A$, 其中 A = 诱变前活菌数($\text{CFU} \cdot \text{mL}^{-1}$), B = 诱变后活菌数($\text{CFU} \cdot \text{mL}^{-1}$).

1.2.8 正突变率

诱变后菌悬液适当稀释后, 涂布于初筛平板, 培养 24 h. 测量初筛平板上菌落的变色圈直径大小, 计算菌株正突变率, 正突变率的计算公式如下:

正突变率 = C/D .

其中: C =不同 Fe^{2+} 质量浓度下变色圈直径比出发菌株大10%的菌落数; D =不同 Fe^{2+} 质量浓度下所挑取的总样本菌落数.

1.2.9 一级种子的培养

从培养24 h的初筛菌种平板上,挑取单菌落,接种到装有50 mL种子培养基的250 mL三角瓶中,200 r/min,37 °C培养过夜.

1.2.10 二级种子的培养

一级种子按1%的接种量接到装有50 mL种子培养基的250 mL三角瓶中,200 r/min,37 °C培养6 h.

1.2.11 摆瓶发酵

二级种子按5%接种量接到装有50 mL种子培养基的250 mL三角瓶中,250 r/min,37 °C发酵72 h.

1.2.12 发酵罐发酵

5 L发酵罐装液量为3 L,二级种子按5%接种量接种,发酵温度37 °C,初始通气量1 vvm,初始转速200 r/min,发酵后根据调整转速及通气维持DO高于30%.发酵底料中加入1 mL泡敌抑制泡沫产生.发酵过程用氨水维持pH6.4,底料碳源耗完后,以 $2.5 \text{ g} \cdot \text{L}^{-1} \cdot \text{h}^{-1}$ 山梨醇补料至发酵结束,发酵时间72 h.

2 结果和讨论

2.1 Fe^{2+} 质量浓度对大肠杆菌致死率的影响

将大肠杆菌PSA-W286放置于0.5 T磁场强度中,菌悬液中加入不同质量浓度 Fe^{2+} 诱变处理后,适当稀释分别涂布于初筛平板培养基上进行培养,每个质量浓度下随机挑选10块平板进行致死率统计.结果显示在0.5 T磁场强度下, Fe^{2+} 质量浓度与致死率有明显的剂量效应关系.随着 Fe^{2+} 质量浓度的提高,菌体的致死率也随着升高,当 Fe^{2+} 质量浓度为 $30 \text{ mg} \cdot \text{L}^{-1}$ 时,大肠杆菌致死率为69.3%; Fe^{2+} 质量浓度为 $120 \text{ mg} \cdot \text{L}^{-1}$ 时,大肠杆菌致死率为97.4%; Fe^{2+} 质量浓度为 $180 \text{ mg} \cdot \text{L}^{-1}$ 时,大肠杆菌致死率为99.2%(图1).

2.2 Fe^{2+} 质量浓度对大肠杆菌产PSA正突变率的影响

将大肠杆菌PSA-W286放置于0.5 T磁场强度中,菌悬液中加入不同质量浓度 Fe^{2+} 诱变处理后,适当稀释分别涂布于初筛平板培养基上进行培养,每个质量浓度下随机挑选10块平板进行正突变率计数统计.结果显示,当 Fe^{2+} 质量浓度为 $90 \text{ mg} \cdot \text{L}^{-1}$ 时,正突变率为12.5%;当 Fe^{2+} 质量浓度为 $180 \text{ mg} \cdot \text{L}^{-1}$ 时,正突变率为2.3%.本研究选择 $90 \text{ mg} \cdot \text{L}^{-1}$ 的 Fe^{2+} 质量浓度作为诱变浓度,致死率为88.4%(图2).

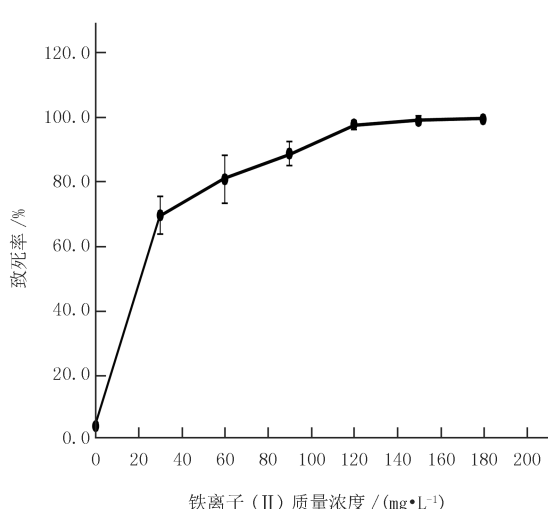


图1 Fe^{2+} 质量浓度对致死率影响

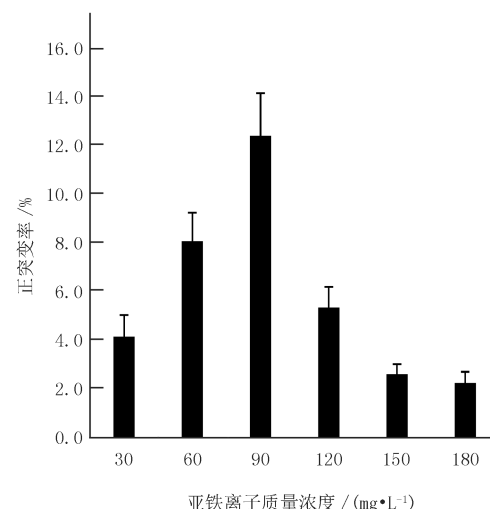


图2 Fe^{2+} 质量浓度对正突变率影响

2.3 高产菌株筛选

2.3.1 初筛

挑取 2.2 实验中各平板变色圈最大的前 300 个单菌落, 用于下一轮复筛实验。

2.3.2 第一轮复筛

将 2.3.1 中挑取的 300 个单菌落分别接一级种子、二级种子, 然后进行摇瓶发酵培养 72 h, 检测 PSA 产量。与出发菌种相比, 产量提高 30% 以上有 1 株菌, 提高 20%~30% 有 5 株菌, 提高 10%~20% 有 72 株菌, PSA 产量下降的有 35 株菌; 其中 90—42 号菌株 PSA 产量提高 34.1%, 提高幅度最大, 说明磁场与 Fe^{2+} 联合诱变效果显著(表 1)。选取 PSA 产量最高的前 10 株菌进行第二轮复筛。

2.3.3 第二轮复筛

将 2.3.2 中挑取的 10 株菌分别接一级种、二级种子, 再进行摇瓶培养 72 h, 检测 PSA 产量, 其中有三株菌产量提高 20% 以上(表 2), 选取该三株菌进行遗传稳定性试验。

2.3.4 传代稳定性

经过初筛复筛获得的突变株 60—35、90—42、120—39, 每传代 2 次进行摇瓶发酵实验, 检测 PSA 产量, 观察遗传稳定性。结果显示, 该 3 株突变株遗传性能均较稳定(表 3)。选择产量最高的 90—42 菌株作为下一轮诱变的出发菌株。

表 3 遗传稳定性结果($\text{g} \cdot \text{L}^{-1}$)

菌株编号	第 2 代	第 4 代	第 6 代	第 8 代	第 10 代
60—35	1.35	1.42	1.41	1.33	1.32
90—42	1.49	1.415	1.52	1.42	1.43
120—39	1.37	1.44	1.43	1.41	1.35

2.4 菌株的多轮诱变选育

以 90—42 菌株作为第二轮诱变出发菌株, 0.5 T 磁场下 Fe^{2+} 质量浓度 $90 \text{ mg} \cdot \text{L}^{-1}$, 进行诱变、初筛(每轮初筛选取 300 株)、复筛、遗传稳定性验证, 选择 PSA 摆瓶产量提高 10% 的菌株进行下一轮诱变出发菌株。经过 5 轮诱变后, 得到菌种 5—45, PSA 产量达到 $2.24 \text{ g} \cdot \text{L}^{-1}$; 第 4 轮开始, 产量提高幅度降低(表 4)。

表 4 五轮诱变选育结果

诱变轮数	菌株	PSA 单位产量($\text{g} \cdot \text{L}^{-1}$)	逐级提高比率/%
0	CK	1.09 ± 0.06	0.0
1	90—42	1.46 ± 0.08	33.9
2	2—34	1.61 ± 0.07	10.3
3	3—17	1.92 ± 0.16	19.3
4	4—19	2.14 ± 0.11	11.5
5	5—45	2.24 ± 0.18	4.7

2.5 发酵罐验证

将出发菌种 PSA-W286 及 5—45 两株菌分别接一级种子、二级种子, 然后接种于 5 L 发酵罐进行发酵。接种量 5%, 发酵温度 37 °C, 初始通气量 1 vvm, 初始转速 200 r/min, 发酵过程调整搅拌转速及通气量维持

表 1 第一轮复筛 10 株高产菌的摇瓶发酵产量

菌株编号	PSA 单位产量($\text{g} \cdot \text{L}^{-1}$)	提高/%
CK	1.09	0.0
60—35	1.34	22.9
60—36	1.28	17.4
90—2	1.28	17.4
90—42	1.46	33.9
90—89	1.33	22.0
120—12	1.33	22.0
120—39	1.39	27.5
120—42	1.29	18.3
180—2	1.27	16.5
180—9	1.32	21.1

表 2 第二轮复筛 3 株高产菌发酵产量

菌株编号	PSA 单位产量($\text{g} \cdot \text{L}^{-1}$)	提高/%
CK	1.11 ± 0.06	0.0
60—35	1.36 ± 0.06	22.5
90—42	1.47 ± 0.07	32.4
120—39	1.41 ± 0.04	27.0

DO 高于 30%。发酵底料中加入 1 mL 泡敌抑制泡沫产生。发酵过程用氨水维持 pH6.4, 底料碳源耗完后, 以 $2.5 \text{ g} \cdot \text{L}^{-1} \cdot \text{h}^{-1}$ 山梨醇补料至发酵结束, 发酵时间 72 h。结果显示, PSA-W286 及 5—45 两株菌 5 L 罐发酵水平分别为 4.79 和 $9.22 \text{ g} \cdot \text{L}^{-1}$, 生物量 OD₆₀₀ 分别为 118.7 和 130.3。PSA 产量提高幅度为 92%, 明显高于生物量提高幅度, 略低于摇瓶发酵水平 PSA 产量提高幅度。

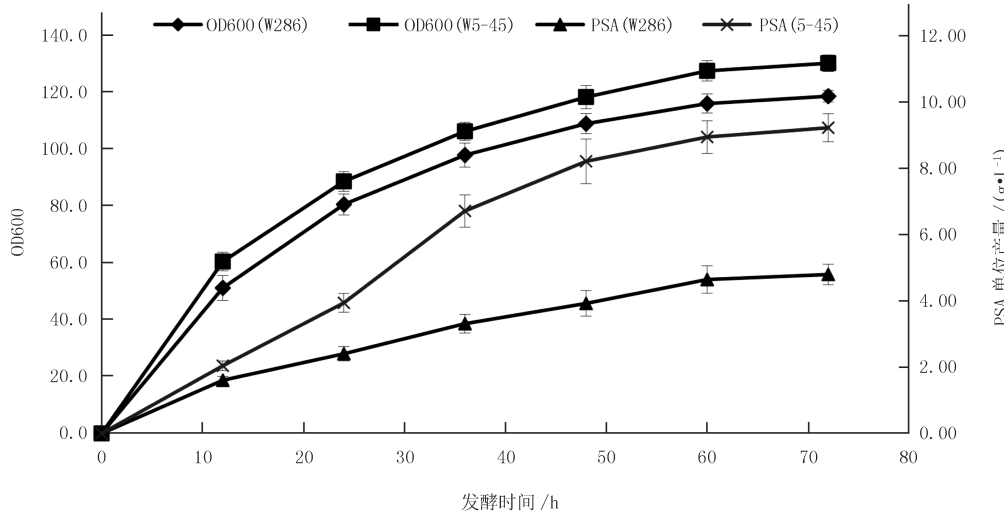


图 3 W286 及 5-45 菌株 5 L 发酵罐发酵曲线

3 结 论

Fe^{2+} 在磁场条件下, 对大肠杆菌具有明显的生物学效应。本研究在 0.5 T 磁场条件下, $90 \text{ mg} \cdot \text{L}^{-1}$ 的 Fe^{2+} , 对大肠杆菌 PSA-286 进行了 5 轮诱变和选育, 菌种的摇瓶发酵水平和发酵罐发酵水平均有大幅度的提升, 并且诱变菌种的遗传稳定性良好。5 L 发酵罐最终产量 $9.22 \text{ g} \cdot \text{L}^{-1}$, 高于文献[13—14]报道的 $5 \sim 6 \text{ g} \cdot \text{L}^{-1}$ 水平。本研究为大肠杆菌高产 PSA 的选育提供了新的诱变思路, 选育的高产菌株具有工业化生产的潜力, 为发酵生产聚唾液酸的产业化提供了可供选择的途径。高产菌株的选育是企业的核心竞争力, 是企业永恒的课题, 后续需要对高产菌株 5—45 进行继续诱变选育。因为磁场能弥补单一诱变因子多次诱变产生的“热点”饱和, 故可利用磁场诱变技术与离子束诱变育种等技术交替运用, 提高突变率, 选育出更高产 PSA 的菌株。

参 考 文 献

- [1] Rodríguez-Aparicio L B, Reglero A, Ortiz A I, et al. Effect of physical and chemical conditions on the production of colominic acid by *Escherichia coli*, in a defined medium[J]. Applied Microbiology & Biotechnology, 1988, 27(5-6): 474-483.
- [2] Barry G T, Goebel W F. Colominic acid, a substance of bacterial origin related to sialic acid[J]. Nature, 1957, 179(4552): 206-206.
- [3] Reuter G, Gabius H J. Sialic acids structure-analysis-metabolism-recognition.[J]. Biological chemistry Hoppe-Seyler, 1996, 377(6): 325-342.
- [4] Schauer R, Fischer C, Lee H, et al. Sialic Acids as Regulators of Molecular and Cellular Interactions[M]. Lectins and Glycoconjugates in Oncology. Springer Berlin Heidelberg, 1988: 5-23.
- [5] Schauer R. Achievements and challenges of sialic acid research[J]. Glycoconjugate Journal, 2000, 17(7/8/9): 485-499.
- [6] Hu S, Chen J, Yang Z, et al. Coupled bioconversion for preparation of N-acetyl-d-neuraminic acid using immobilized N-acetyl-d-glucosamine-2-epimerase and N-acetyl-d-neuraminic acid lyase[J]. Applied Microbiology & Biotechnology, 2010, 85(5): 1383-1391.
- [7] Kelm S, Schauer R, Crocker P R. The Sialoadhesins-A family of sialic acid-dependent cellular recognition molecules within the immunoglobulin superfamily[J]. Glycoconjugate Journal, 1996, 13(6): 913-926.
- [8] Kelm S, Schauer R. Sialic acids in molecular and cellular interactions.[J]. International Review of Cytology, 1997, 175: 137-240.
- [9] Böhm S, Schwab I, Lux A, et al. The role of sialic acid as a modulator of the anti-inflammatory activity of IgG[J]. Seminars in Immunopathology, 2000, 22(1): 1-12.

- thology, 2012, 34(3): 443-453.
- [10] Saleem T. Soluble CD14, Sialic Acid and L-Fucose in Breast Milk and their Role in Increasing the Immunity of Breast-Fed Infants[J]. American Journal of Biochemistry & Biotechnology, 2011, 7(1): 21-28.
- [11] Wielgat P, Braszko J J. The participation of sialic acids in microglia-neuron interactions[J]. Cellular Immunology, 2012, 273(1): 17-22.
- [12] Sprenger N, Julita M, Donnicola D, et al. Sialic acid feeding aged rats rejuvenates stimulated salivation and colon enteric neuron chemo-types[J]. Glycobiology, 2009, 19(12): 1492-1502.
- [13] Wu J R, Liu J L, Zhan X B, et al. Enhancement of polysialic acid yield by reducing initial phosphate and feeding ammonia water to *Escherichia coli*, CCTCC M208088[J]. Biotechnology & Bioprocess Engineering, 2010, 15(4): 657-663.
- [14] Zheng Z Y, Wang S Z, Li G S, et al. A new polysialic acid production process based on dual-stage pH control and fed-batch fermentation for higher yield and resulting high molecular weight product[J]. Applied Microbiology & Biotechnology, 2013, 97(6): 2405-2412.
- [15] Rosen A D. Mechanism of action of moderate-intensity static magnetic fields on biological systems[J]. Cell Biochemistry & Biophysics, 2003, 39(2): 163-173.
- [16] Zmyslony M, Palus J, Jajte J, et al. DNA damage in rat lymphocytes treated in vitro with iron cations and exposed to 7 mT magnetic fields (static or 50 Hz)[J]. Mutation research, 2000, 453(1): 89-96.
- [17] 杨生玉, 卫军, 刘宇鹏, 等. 双向联合磁场在诱变育种中增效作用的研究[J]. 微生物学通报, 2003, 30(5): 82-86.
- [18] 卢诗瑶, 朱薇薇, 孙立洁, 等. 一种自动磁场诱变机:中国, 201510811874.X[P]. 2015-11-19.
- [19] 邱红兵, 陈钧. PHB 高产菌株的选育[J]. 信阳师范学院学报(自然科学版), 2007, 20(1): 48-51.
- [20] 吴健, 张少平, 戴桂馥, 等. 庆大霉素高产菌株的抗性方法选育[J]. 信阳师范学院学报(自然科学版), 2007, 20(2): 191-194.
- [21] Svennerholm L. Quantitative estimation of sialic acid II[J]. Biochimica Et Biophysica Acta, 1957(24): 604-611.

Title Screening of high-yield polysialic acid producing *Escherichia coli* mutants induced by magnetic field combined with Fe^{2+}

Wu Jinyong^{1,2}, Chen Xiangsong^{2,3}, Yuan Lixia², Zhu Weiwei², Sun Lijie², Li Jun³, Gao Lanlan², Yao Jianming^{1,2,3}

(1. University of Chinese Academy of Sciences, Beijing 100049, China; 2. Hefei Institutes of Physical Science, Chinese Academy of Sciences, Hefei 230031, China; 3. Huainan New Energy Research Center, Huainan, 232001, China)

Abstract: Compound mutagenesis using magnetic field and Fe^{2+} was carried out several rounds to gain a high-yielding *Escherichia coli* strain of polysialic acid (PSA) fermentation and the high-yielding strain was verified in 5 L fermentor. The results showed that the optimal Fe^{2+} ion concentration was $90 \text{ mg} \cdot \text{L}^{-1}$ in the compound mutagenesis using magnetic field of 0.5 T. The concentration of PSA in shaking flask fermentation increased from $1.09 \text{ g} \cdot \text{L}^{-1}$ to $2.24 \text{ g} \cdot \text{L}^{-1}$ after five rounds of mutagenesis, while the concentration of PSA in 5L fermentor fermentation raised from $4.79 \text{ g} \cdot \text{L}^{-1}$ to $9.22 \text{ g} \cdot \text{L}^{-1}$, increased by 92%. Therefore, the compound mutagenesis of magnetic field and Fe^{2+} showed obvious effect on *Escherichia coli* of PSA fermentation.

Keywords: polysialic acid; magnetic field; Fe^{2+} ; compound mutagensis

[责任编辑 王凤产]